

(7.3) 有機質土の非排水セシ断試験結果に関する一考察

秋田大学 学生員 ○五十嵐 勝
正員 宮川 勇

1. はじめに

高有機質土に関するても発生間ゲキ水圧から推定したダイレタンシー相当量は、正ハ面体面上の応力傾角との間にほぼ線形関係にあることが、著者の実験において確かめられた。¹⁾ 本報告においては、高有機質土、粘土、およびその混合土の土質種別に注目し、非排水セシ断におけるダイレタンシー挙動を調べ、その結果の一部について報告する。

2. 試料および実験方法

高有機質土(Peat)は雄物川上流から、粘土(Clay)は秋田市郊外から採取したものである。また高有機質土と粘土を乾燥重量比で1:1となるよう

試料	比重 G_s	強制減量値 $I_d(\%)$	液性限界 $LL(\%)$	塑性指数 I_p	粘土分 (0.005 kN) (%)	圧縮指数 C_c	膨潤指数 C_{cs}
Peat	1.64	72.7	55.9	270	—	4.44	0.49 ~ 0.69
CP50	2.04	38.8	318	166	—	2.04	0.40
Clay	2.60	7.7	86	54	70	0.41	0.072 ~ 0.103

Tab.-1 試料の物理性

に混合した試料を混合土(CP50)として用いた。それぞれの試料の物理性を Tab.-1 に示す。Tab.-1における圧縮指数 C_c 、および膨潤指数 C_{cs} は等方応力による $\epsilon \sim \log \bar{\sigma}_m$ 曲線の平均的傾きであり、それぞれ応力増加時、減少時に対応するものである。($\bar{\sigma}_m$: 平均有効主応力) ここで C_{cs} は最大予圧密せん断応力 σ_c により若干異なるためその範囲を示した。なお試験機、実験方法は五ヶ嵐、北村、宮川²⁾と同様であるのでここでは省略する。

3. 実験結果および考察

土が非排水状態でせん断を受けると、その体積変化傾向は間ゲキ水圧の変化 Δu としてあらわされる。偏差応力下にある体積ひずみ ϵ_v が等方応力下にある圧縮ひずみ ϵ_c とそれだけではあらわしきれない成分 ϵ_d の和と考えるなら、体積ひずみ式として $\epsilon_v = \epsilon_c + \epsilon_d$ となり、 $\epsilon_c = 3C_s \Delta \bar{\sigma}_m$ とおけば次式となる。

$$\epsilon_v = 3C_s \Delta \bar{\sigma}_m + \epsilon_d \quad \cdots \cdots \cdots (1)$$

ここで $\Delta \bar{\sigma}_m$ は平均有効主応力増分である。

非排水状態について $\epsilon_v = 0$ として、間ゲキ水圧に関して解けば、

$$\Delta u = \Delta \bar{\sigma}_m + \epsilon_d / 3C_s \quad \cdots \cdots \cdots (2)$$

ここで $\Delta \bar{\sigma}_m$ は平均主応力増分である。

また土粒子骨格構造の等方応力による体積圧縮率 $3C_s$ は

$$3C_s = \frac{c}{1+e} \frac{\log((\bar{\sigma}_m + \bar{\sigma}_n)/\bar{\sigma}_m)}{\Delta \bar{\sigma}_m} \quad \cdots \cdots \cdots (3)$$

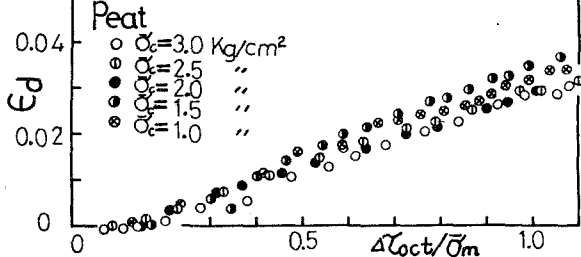


Fig-1 ϵ_d と $\Delta \text{Oct}/\bar{\sigma}_m$ の関係

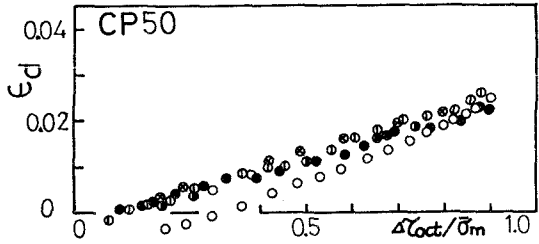


Fig-2 ϵ_d と $\Delta \text{Oct}/\bar{\sigma}_m$ の関係

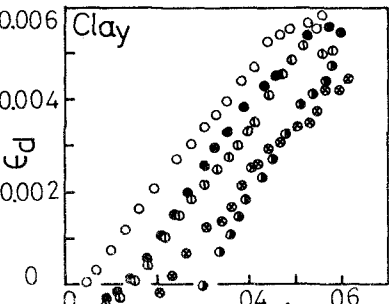


Fig-3 ϵ_d と $\Delta \text{Oct}/\bar{\sigma}_m$ の関係

として求まる。³⁾ ここで係数 C_s としてセシ断中に間げき水压の発生に伴い、平均有効主応力が減少する場合には対応する $e \sim \log \bar{\sigma}_m$ 曲線における傾きである膨潤指數 C_{Cs} を用いる方が適当と考えられる。⁴⁾ 非排水セシ断中におけるダイレタンシー挙動を考える場合、(2)式において ϵ_d について解けば $\epsilon_d = 3C_s(\Delta u - \Delta \sigma_m)$ となり、発生間げき水压から推定できることになる。

このダイレタンシー相当量である ϵ_d を用い、応力比($\Delta \sigma / \sigma_m$)との関係を考えてみる。ここで $\Delta \sigma$ は偏差応力の変化量であって、ダイレタンシーの原因となる成分として考へていいものであり、正八面体面上のセシ断応力増分 $\Delta \sigma_{oct}$ 、モビライズド面上のセシ断応力増分 $\Delta \sigma_{mob}$ などが考へられ、また σ_m は正八面体面上の垂直応力($=\sigma_m$)、もしくはモビライズド面上の垂直応力 σ_{mob} などで示される。すなわち応力比としては $\Delta \sigma_{oct} / \sigma_m$ 、 $\Delta \sigma_{mob} / \sigma_{mob}$ 、 $\Delta \sigma_{mob} / \sigma_m$ などが考へられるが、本報告では応力比として $\Delta \sigma_{oct} / \sigma_m$ をとりあげ、ダイレタンシー相当量 ϵ_d との関係を調べてみる。Fig-1, 2, 3 に試料別に ϵ_d と $\Delta \sigma_{oct} / \sigma_m$ の関係を示す。個々の σ_c では、ダイレタンシー相当量 ϵ_d と $\Delta \sigma_{oct} / \sigma_m$ は、ほぼ線形的比例関係にあり、また Peat, CP50 に関しては、 σ_c の別なく線形関係が認められる。それに対し、Clay では σ_c の影響があらわれる結果が得られた。

Peat, CP50, Clay のいずれの試料においても $\Delta \sigma_{oct}$ の量が比較的小さい領域では ϵ_d によって示される挙動はやや不明確であり、かつ量的变化は微少で $\Delta \sigma_{oct} / \sigma_m$ がある程度の値を越えるとほぼ線形的に増加するようである。したがって線形関係が得られる領域でダイレタンシー相当量式として次の形式が近似的に用いられるものとある。

$$\epsilon_d = v + \eta \frac{\Delta \sigma_{oct}}{\sigma_m} \quad \cdots \cdots \cdots \quad (4)$$

ここで η は ϵ_d が $\Delta \sigma_{oct} / \sigma_m$ に比例する領域における比例係数である。また v は ϵ_d が応力比に対し、線形挙動を開始する応力状態に対応する ϵ_d 軸上の切片である。

そこでそれぞれ個々の σ_c に対して求められた η と破壊時における応力比(σ_{oct} / σ_m) ($\tan \phi_{oct}$)との関係を示したのが Fig-4 であり、土の種類をあらわす指標として、有機物含有量を示す量ともいえる強熱減量値 I_d をとり、 η と I_d の関係を示したのが Fig-5 である。応力比の増加に伴うダイレタンシー相当量の増加割合を示す η と土の強度定数と考えられる $(\Delta \sigma_{oct} / \sigma_m)_f$ とが密接に結びつき、また有機物含有量の増加に伴い、 η が増加傾向を示していることは興味深いことである。

また破壊時におけるダイレタンシー相当量 ϵ_{df} と破壊時における応力比($\Delta \sigma_{oct} / \sigma_m$)_f の関係を Fig-6 に、 ϵ_{df} と I_d の関係を Fig-7 に示す。破壊時におけるダイレタンシー相当量と土の強度定数とは密接にかかわりあり、また有機物含有量の増加に伴い、 ϵ_{df} が増加する傾向を示すように思われる。

最後にダイレタンシー相当量と土の強度定数、土の種類、排水試験結果によるダイレタンシー量などとの相関性について、今後の研究を待ち、統計処理などの手段による解析を期待したい。

4. 参考文献

- 1) 岩川勇五・鶴勝；“有機質土の非排水セシ断試験についての一考察”，土木学会第30回年次学術講演概要集 PP227～PP228, 1975年
- 2) 五十嵐勝・北村謙輔・鶴勝；“過正歪有機質土のセシ断特性に関する2～3の考察”，土木学会東北支部技術研究発表会講演集
- 3) 岩川勇・岩崎恒明；“有機質土の正歪特性に関する実験的研究”，第9回国土質工学研究発表会講演集 PP123～PP126, 1974年
- 4) 岩川勇・三浦雅弘・岩崎恒明；“有機質土の強度試験結果に関する考察”，第10回国土質工学研究発表会講演集 PP229～PP232, 1975年

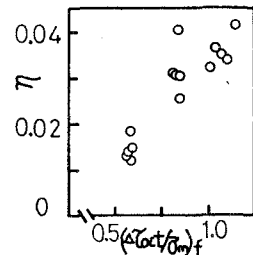


Fig-4 η と $(\Delta \sigma_{oct}/\sigma_m)_f$ の関係

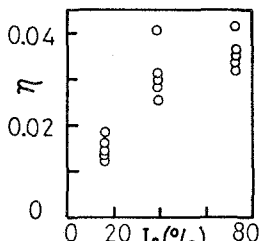


Fig-5 η と I_d の関係

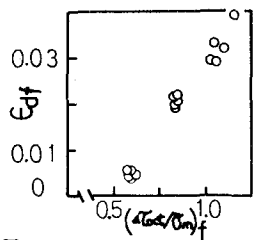


Fig-6 ϵ_{df} と $(\Delta \sigma_{oct}/\sigma_m)_f$ の関係

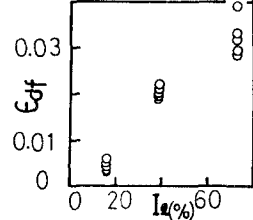


Fig-7 ϵ_{df} と I_d の関係